

The background is a light gray gradient. It features several realistic water droplets of various sizes, some with highlights and shadows, scattered across the frame. In the center, there is a faint, large, circular, textured pattern that resembles a ripple or a stylized sun/moon.

FUENTES

METEOTSUNAMI Y ASTEROIDES



PERO ANTES....

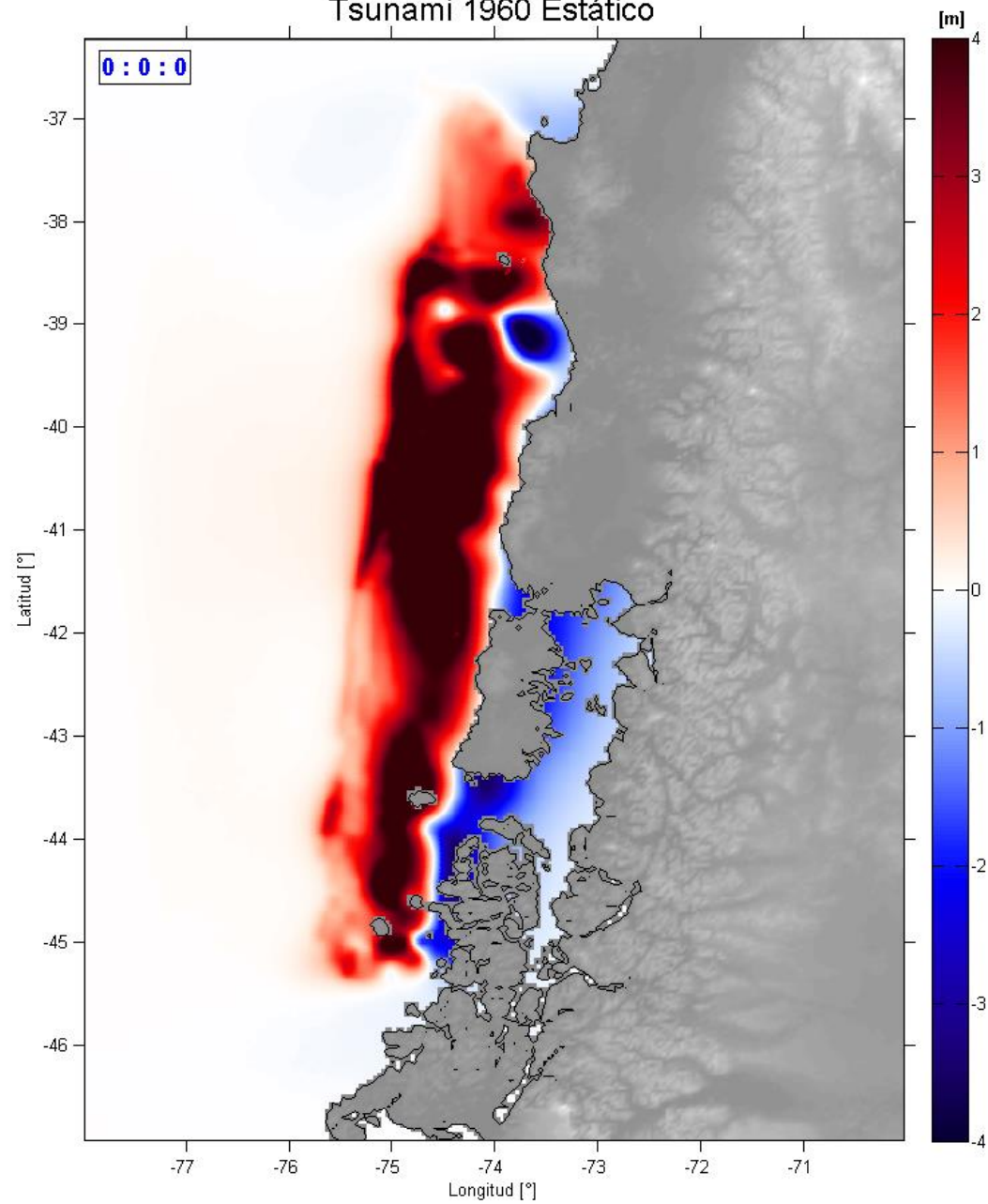
LO QUE DEBÍA!



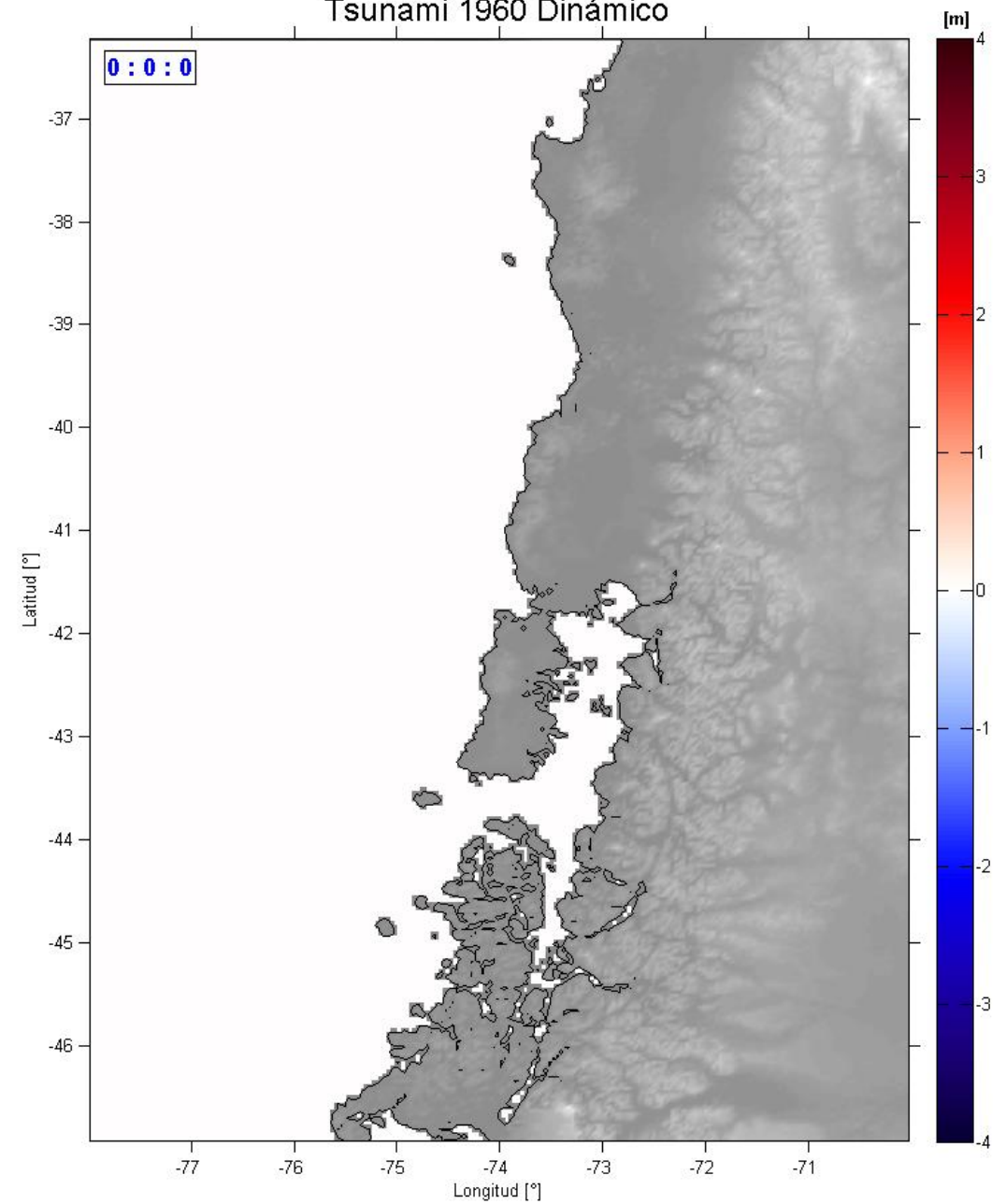
The background of the slide is a light gray gradient. It is decorated with several realistic water droplets of various sizes, some in the top-left corner, some in the top-right, and a cluster in the bottom-right. The text is centered in the middle of the slide.

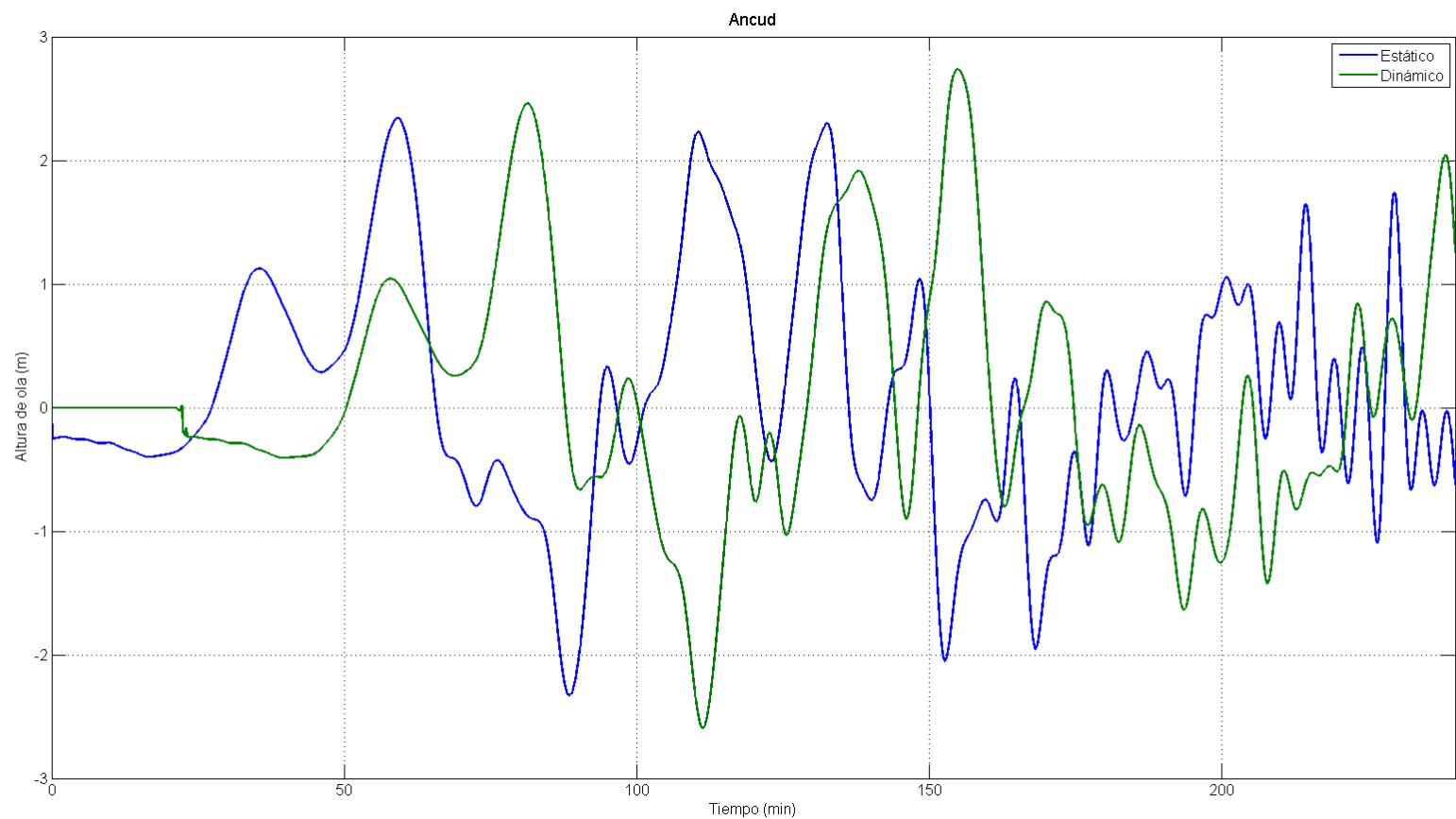
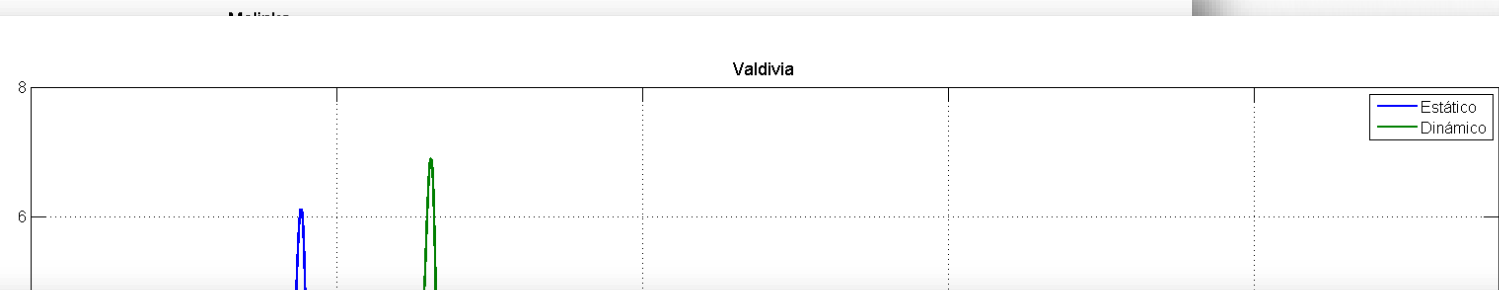
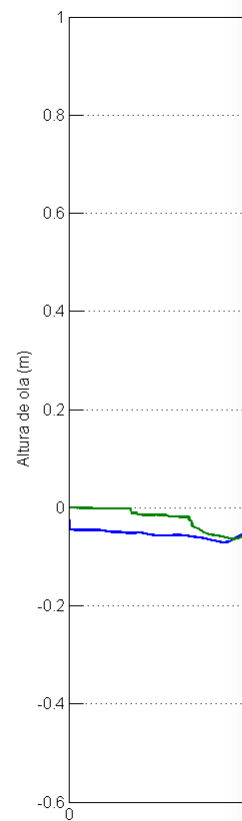
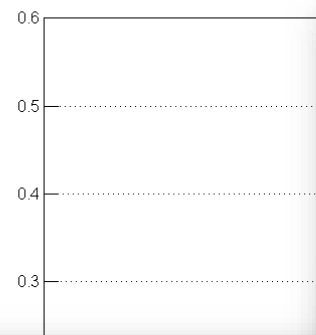
COMPARACIÓN DINÁMICO VS ESTÁTICO

Tsunami 1960 Estático



Tsunami 1960 Dinámico



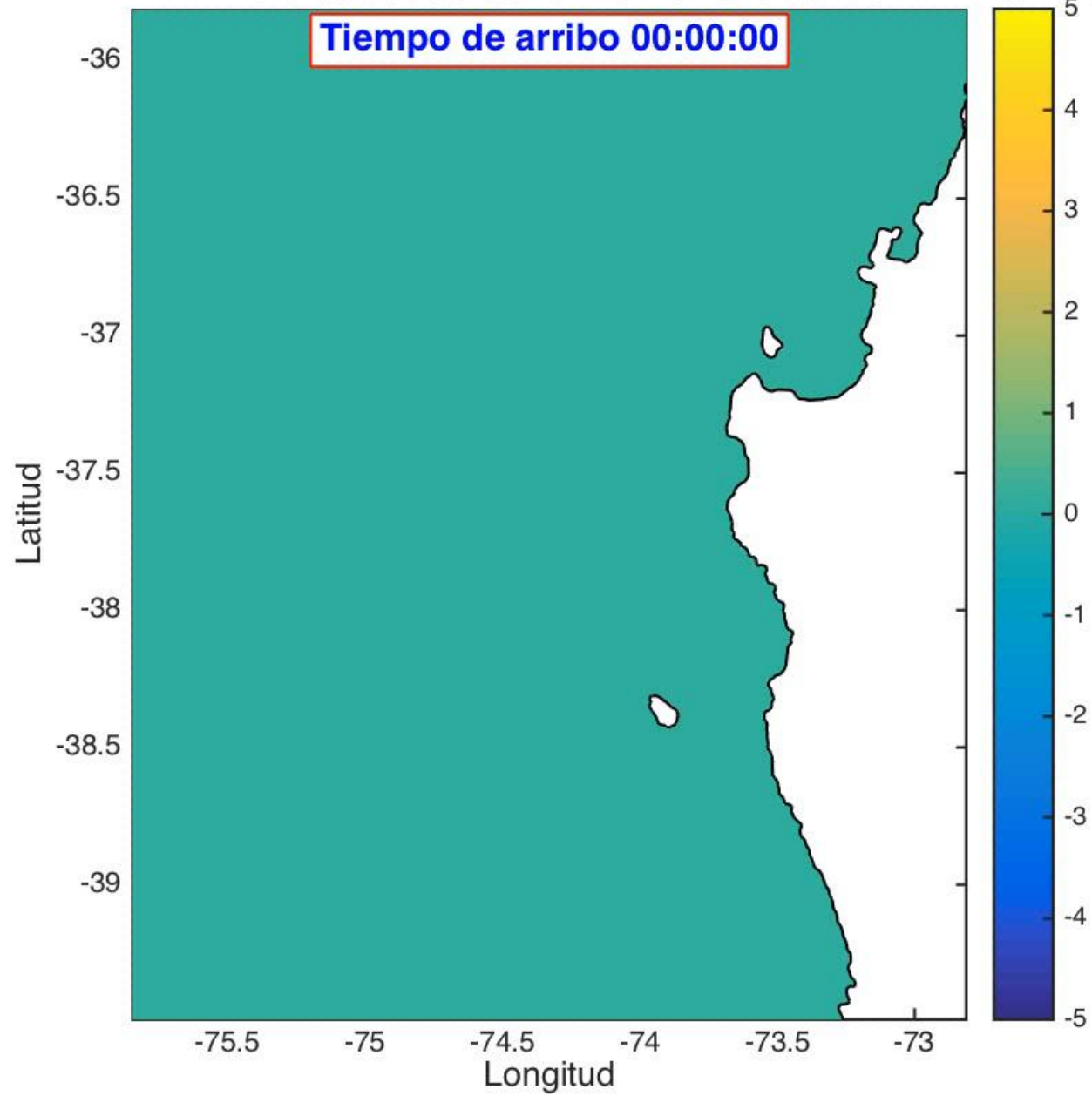


The background is a light gray gradient. In the top-left and bottom-right corners, there are several realistic-looking water droplets of various sizes, rendered with soft shadows and highlights to give them a three-dimensional appearance.

MODELACIÓN POR LANDSLIDE

Altura de olas del tsunami en la Zona Centro

Nivel del Mar (m)



AHORA SI.... 😊

METEOTSUNAMI



Meteotsunami en el puerto de Ciudadella, Isla de Menorca. (Rabinovich y Montserrat, 1998)

CARACTERÍSTICAS

- PUERTOS O BAHÍAS CON ALTA AMPLIFICACIÓN Y RESONANCIA.
- LUGARES GEOGRÁFICOS CERRADOS O SEMI-CERRADOS.
- ANOMALÍA ATMOSFÉRICA A PEQUEÑA ESCALA.
- PROPAGACIÓN HACIA LA ENTRADA DEL PUERTO O BAHÍA.
- RESONANCIA.

1995

Great Lakes



Florida



Pohang



Longkou



Nagasaki

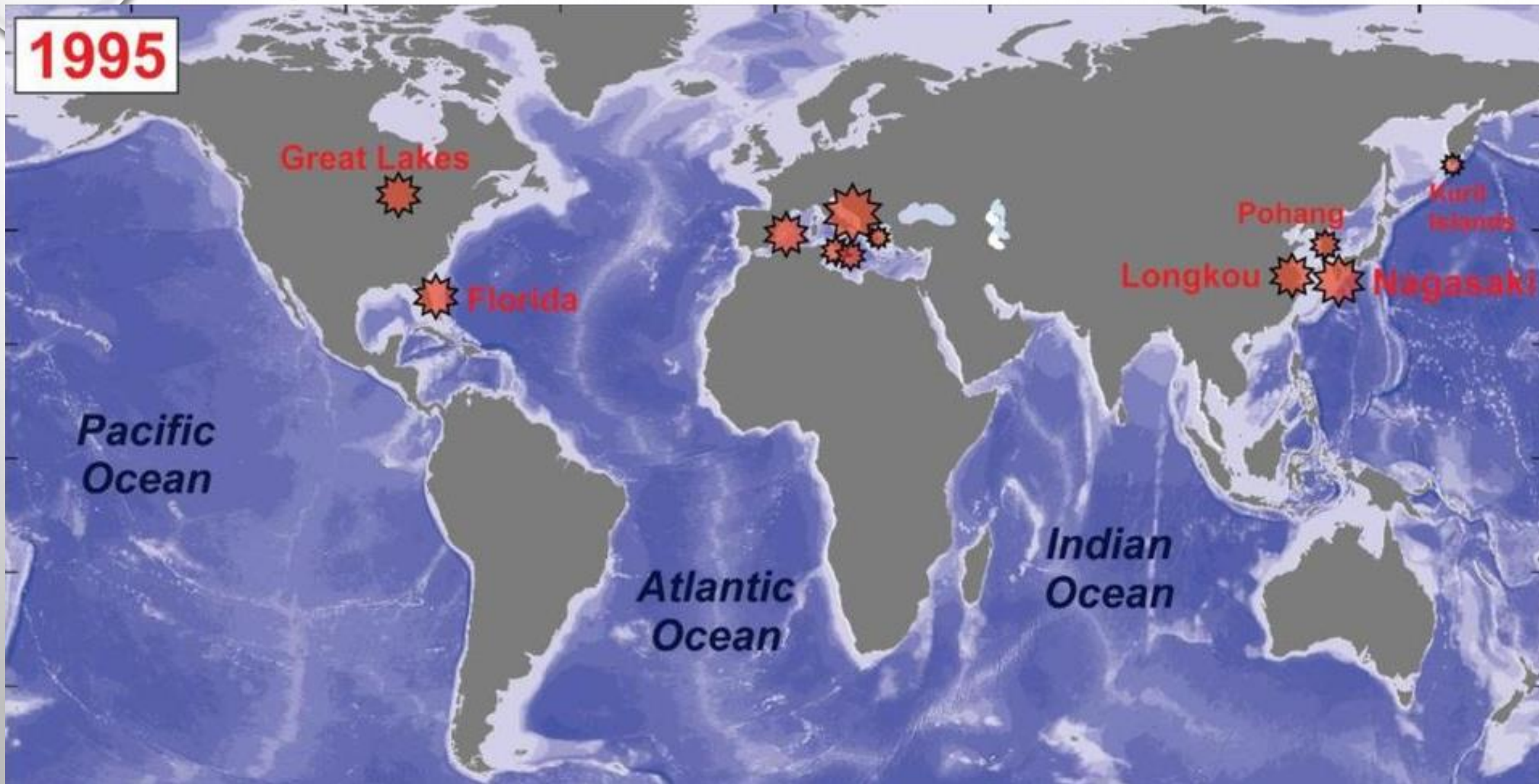


Kuril Islands

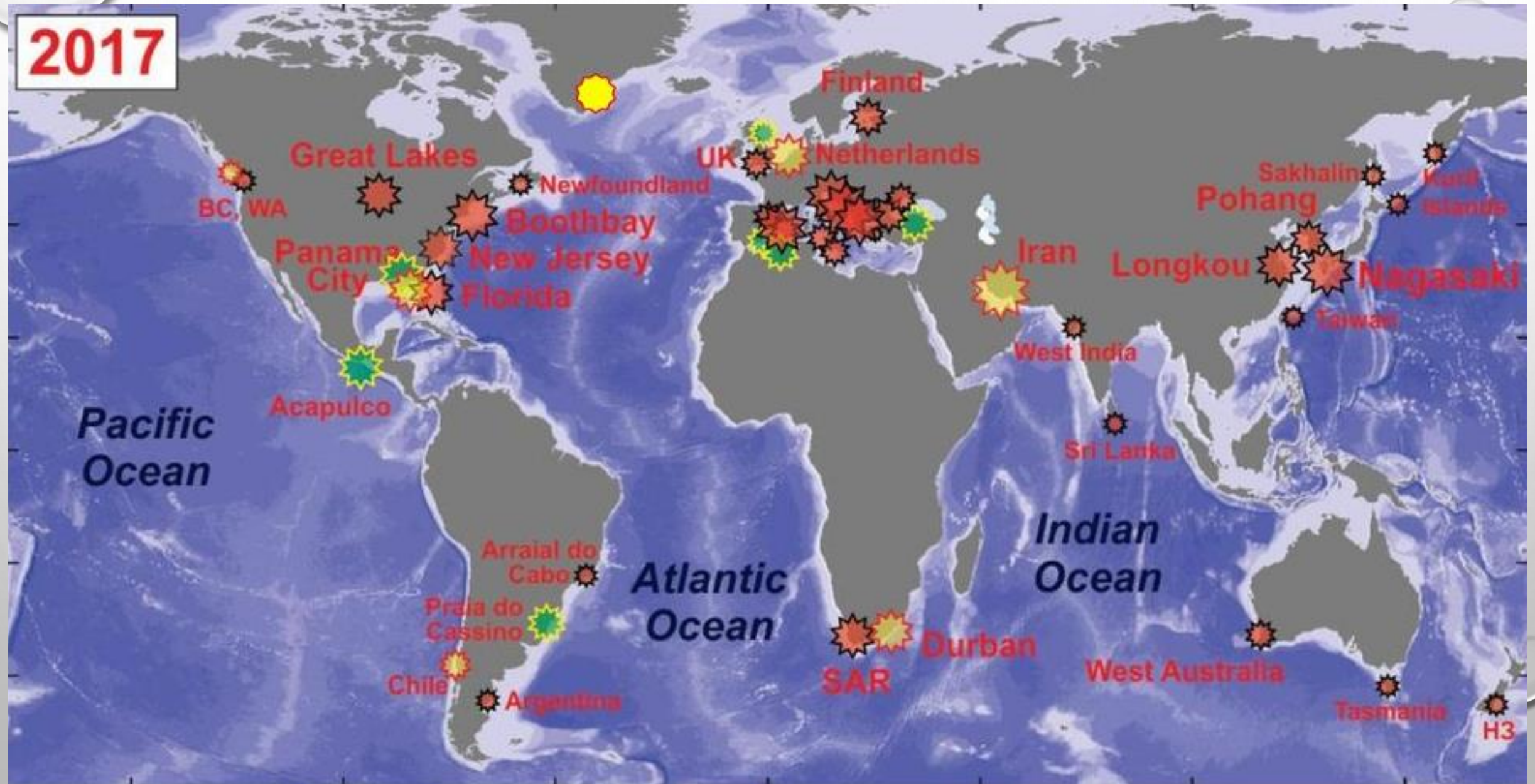
Pacific Ocean

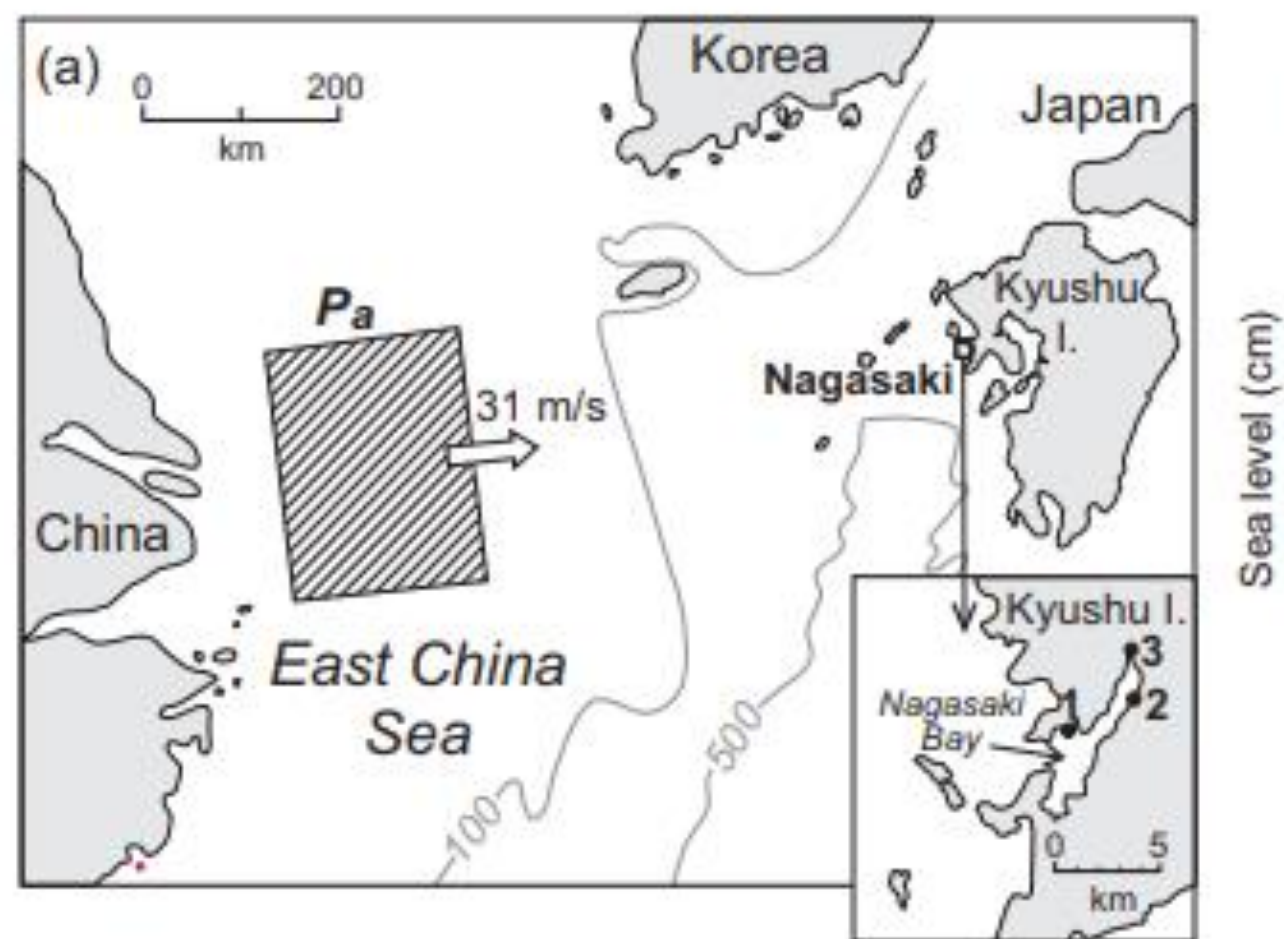
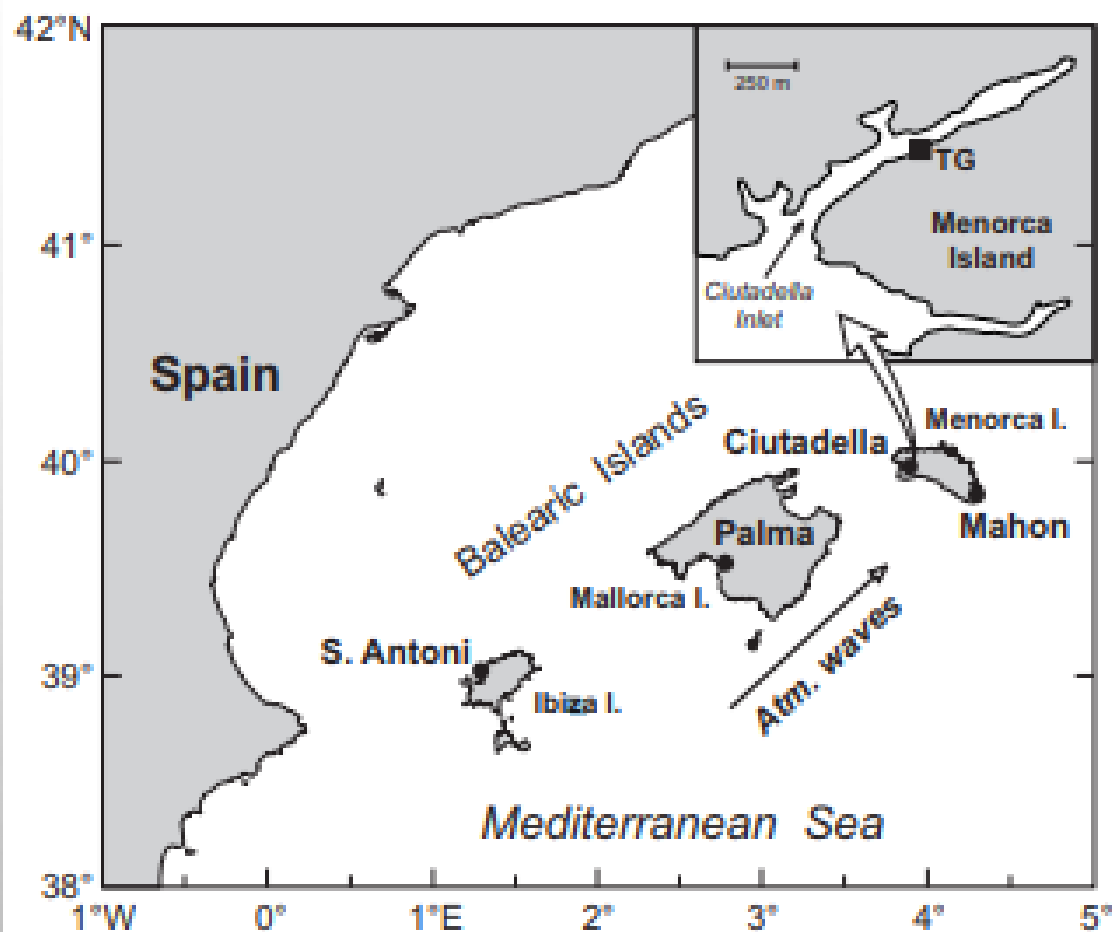
Atlantic Ocean

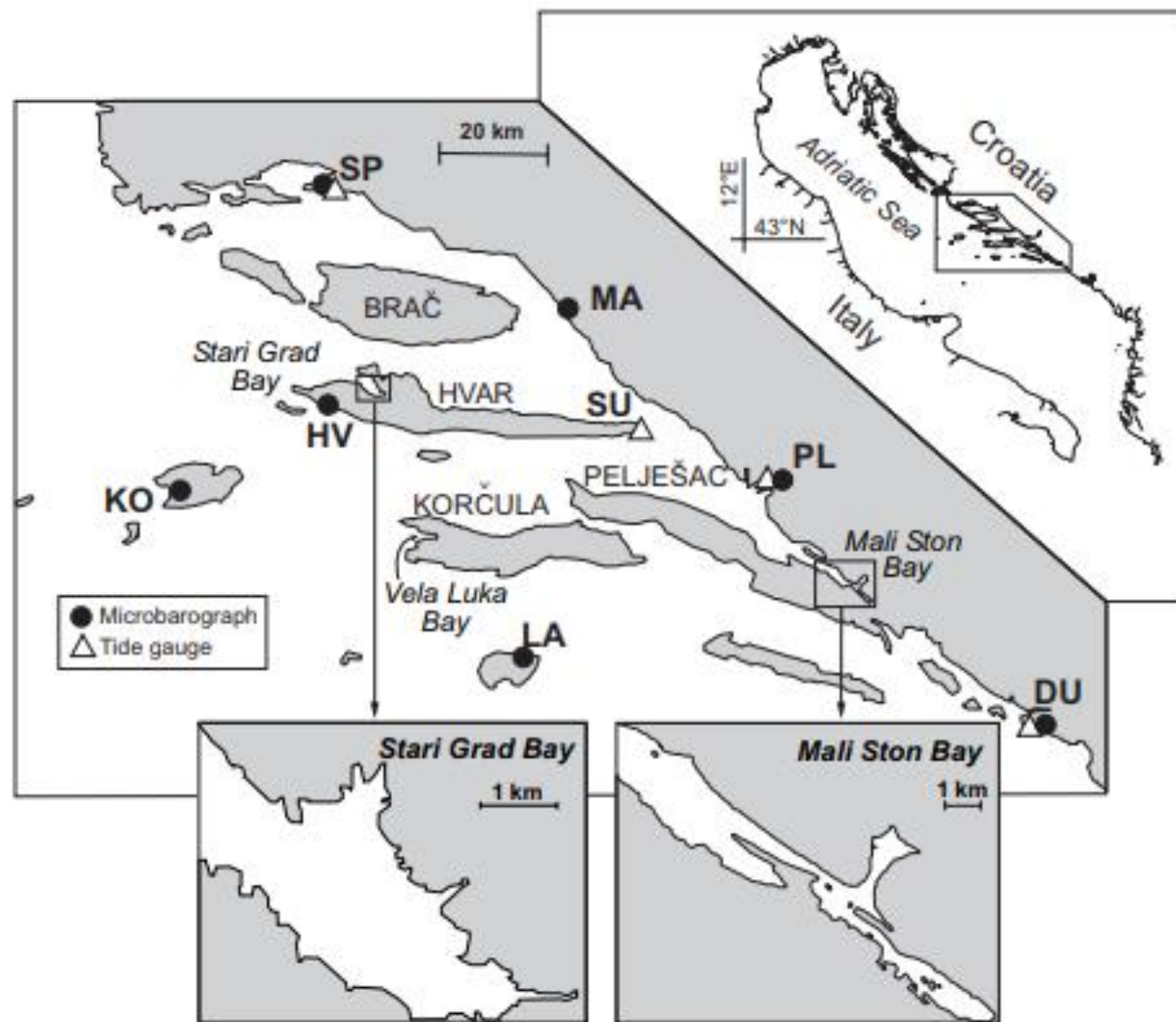
Indian Ocean



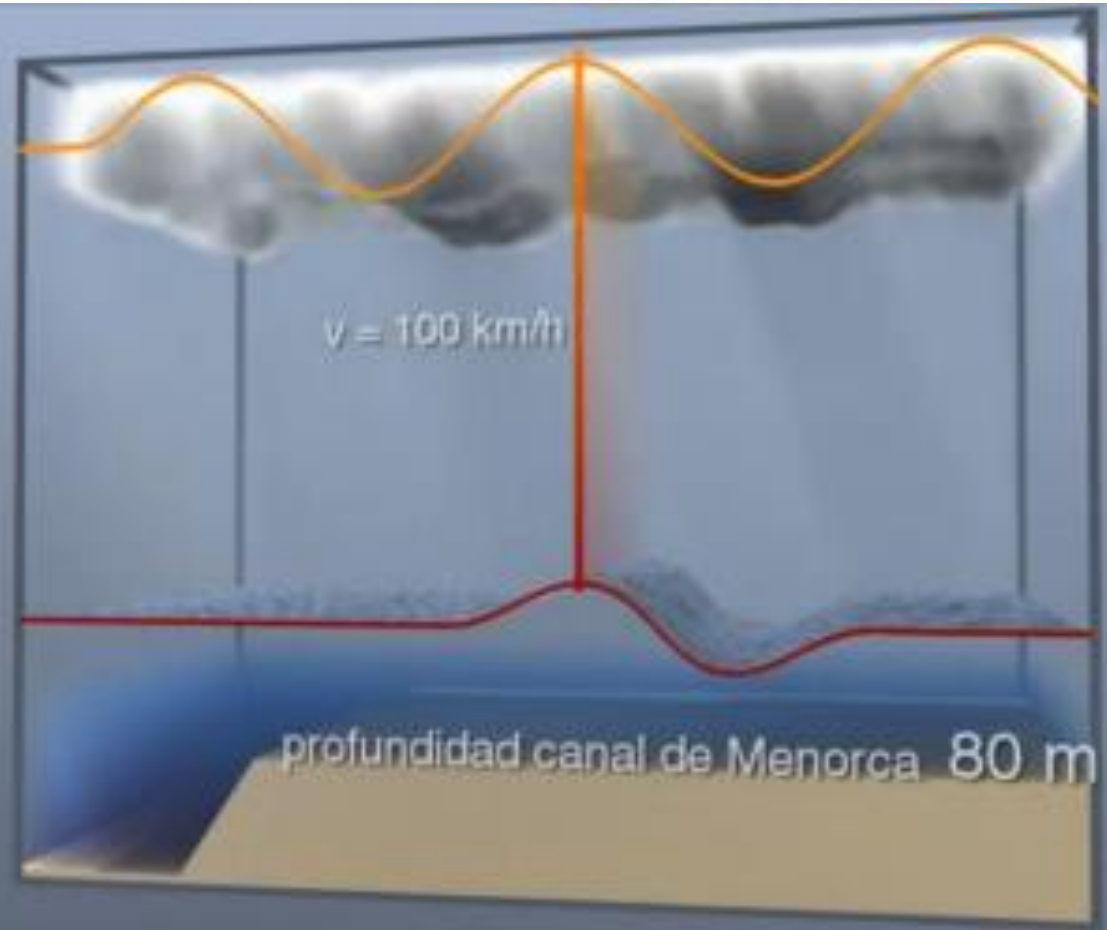
2017







ACOPLAMIENTO ATMÓSFERA-OCÉANO Y AMPLIFICACIÓN



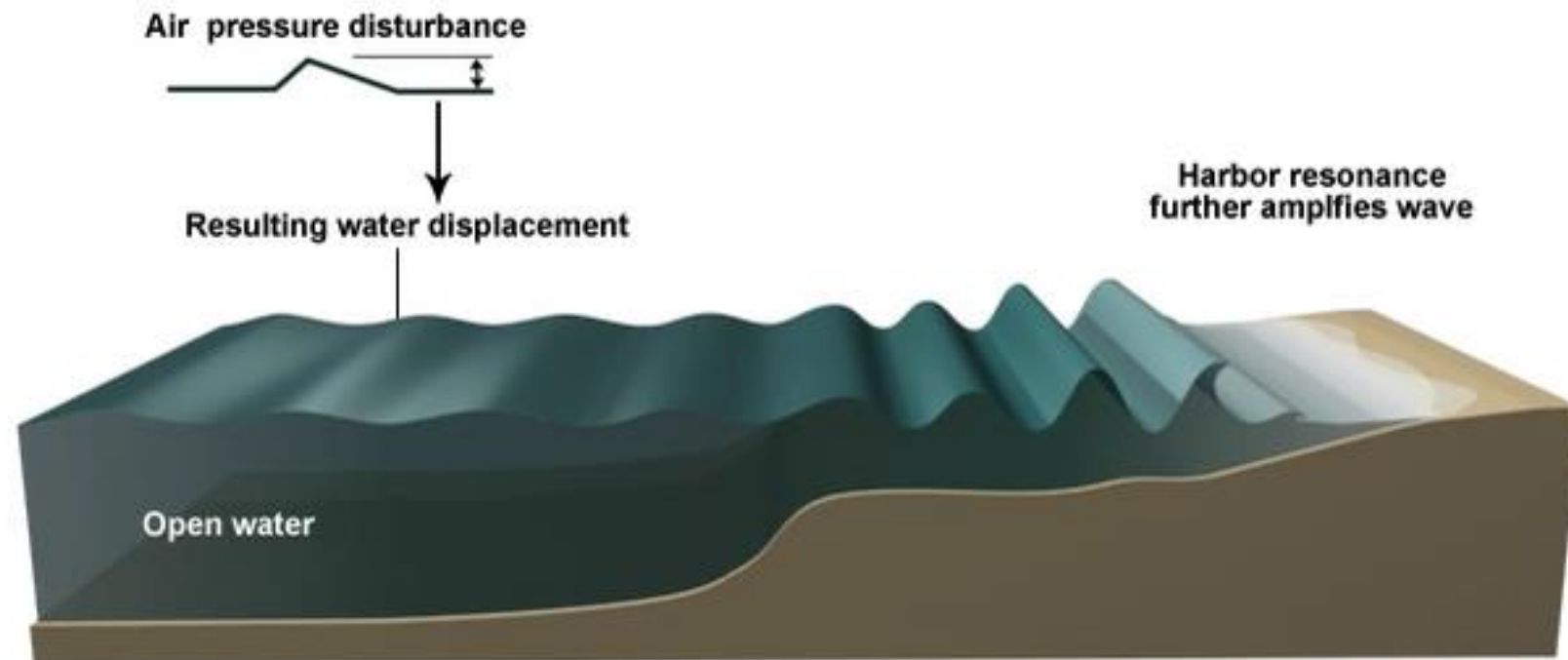
Fuente: Centro Superior de Investigaciones Científicas (CSIC).

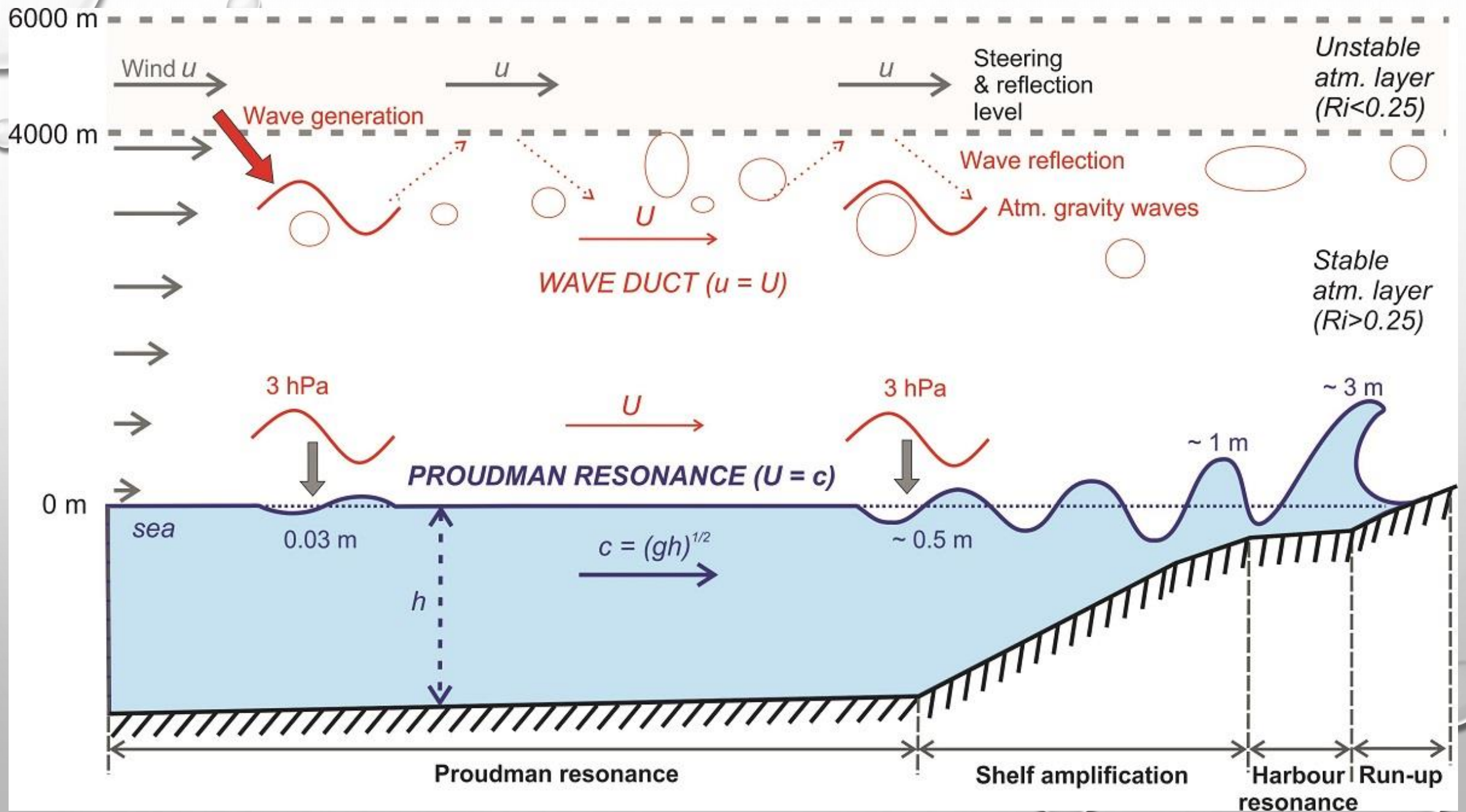


Fuente: <http://cazatormentas.net>. Desarrollo de la Rissaga o meteotsunami
acaecido en Ciutadella (Maó), 16 de junio de 2006.

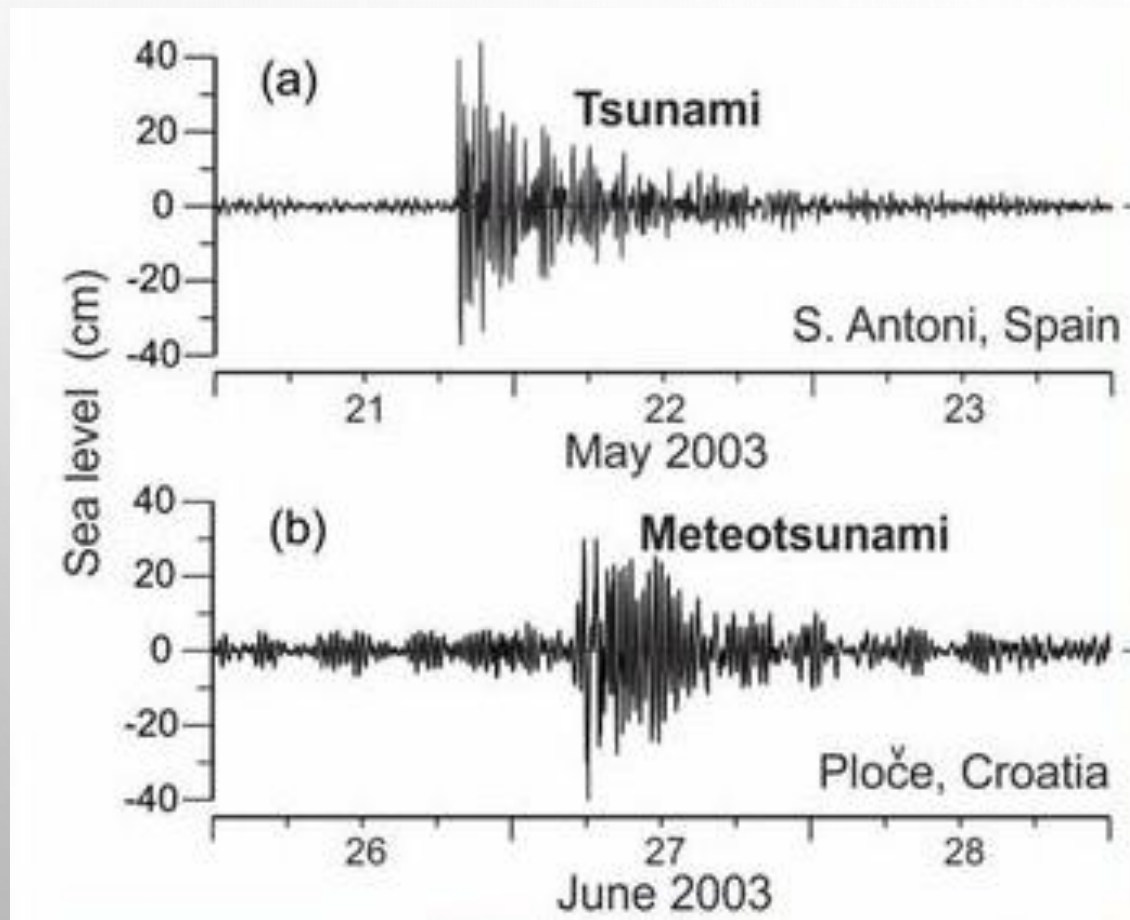
Meteotsunamis

Generation of a Meteotsunami

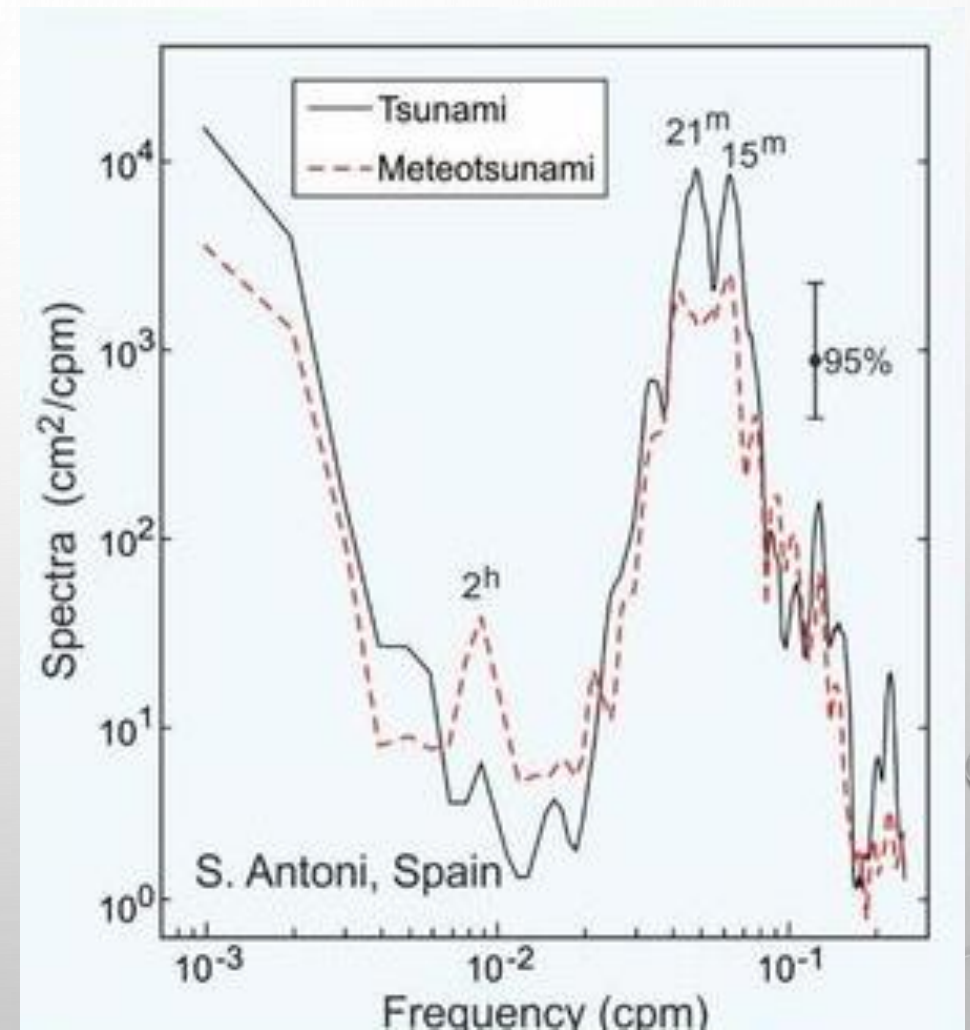




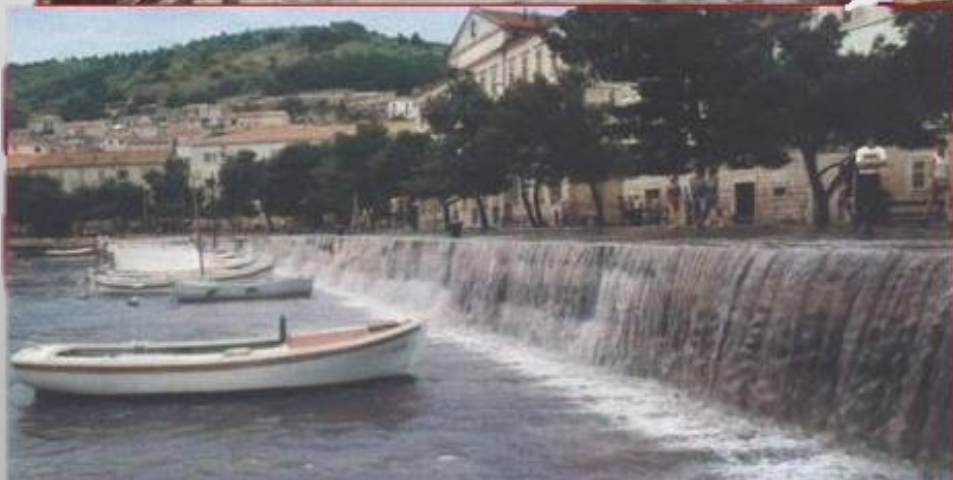
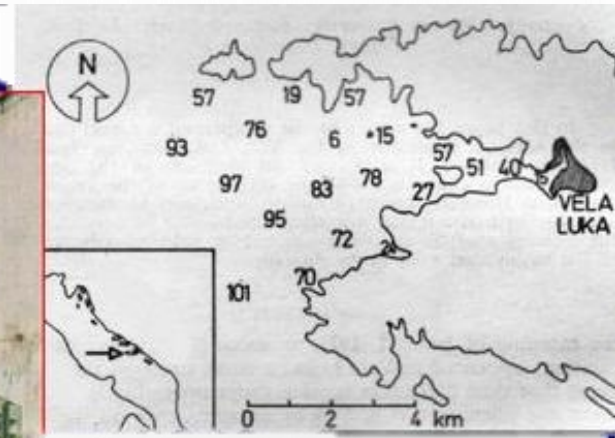
Registros de tsunami y meteotsunami



Espectros de tsunami y meteotsunami

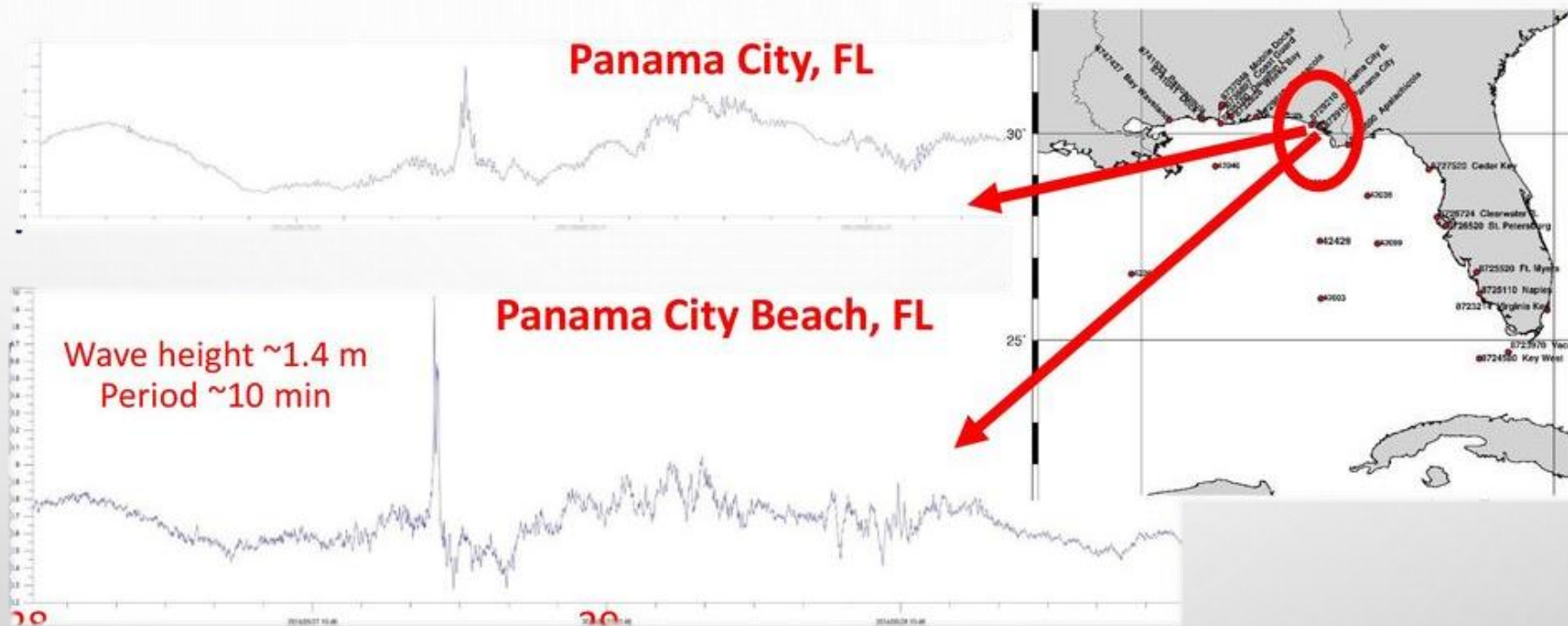


Meteotsunami en Vela Luka Croacia, el 21 de Junio de 1978



Meteotsunami en el Golfo de México

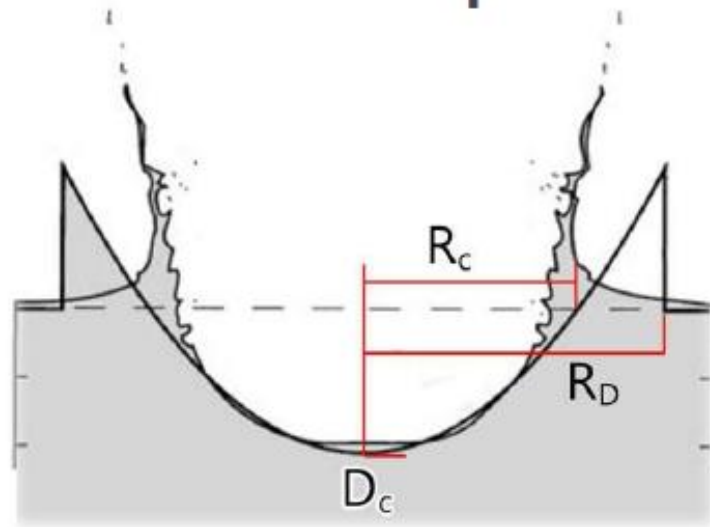
Ciudad de Panamá, Florida. El 28 de marzo de 2014



TSUNAMI POR METEORITOS

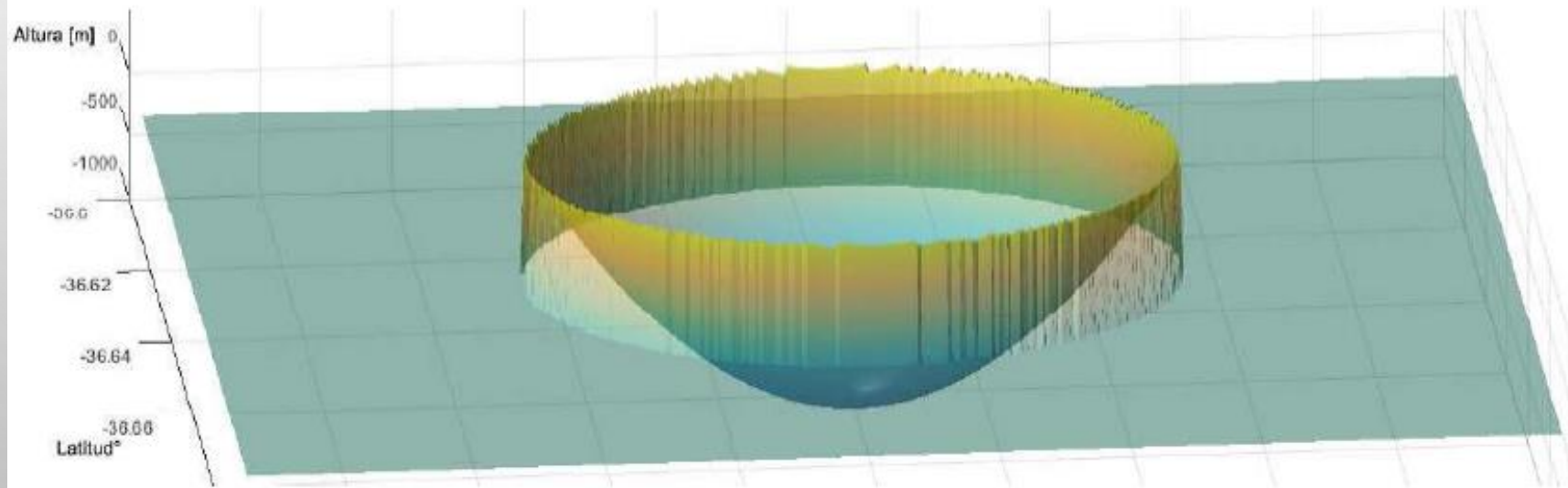


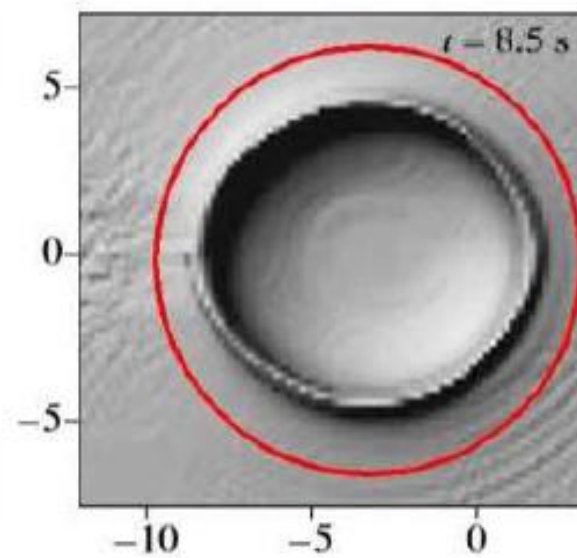
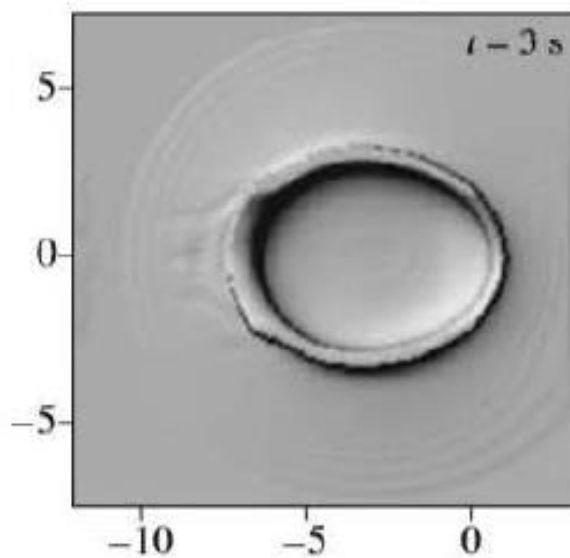
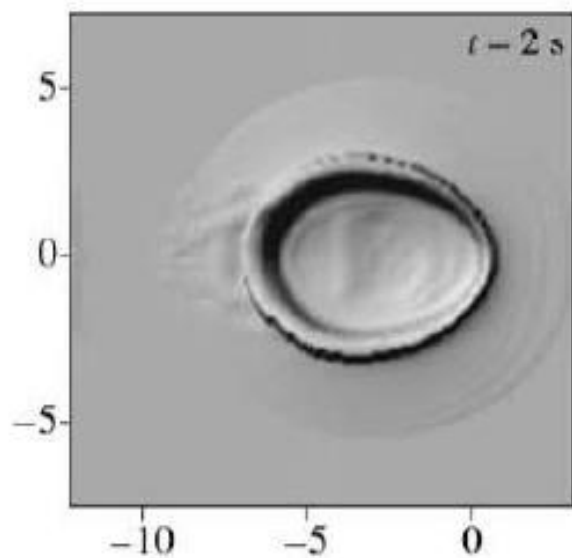
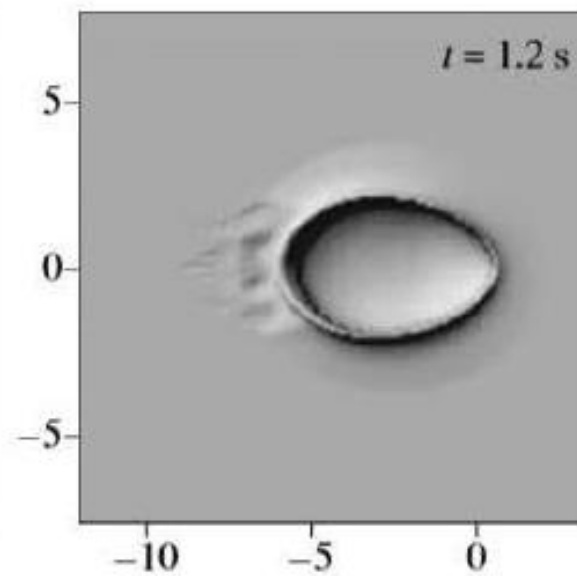
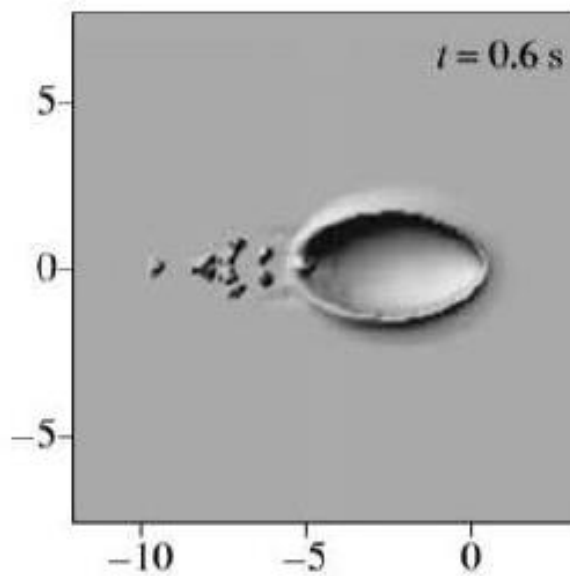
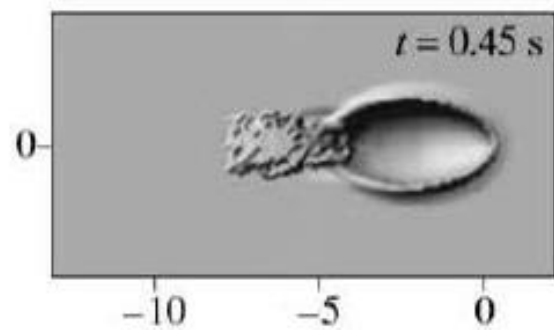
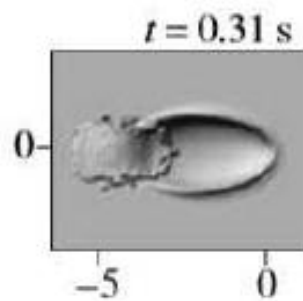
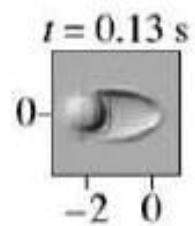
El Impacto

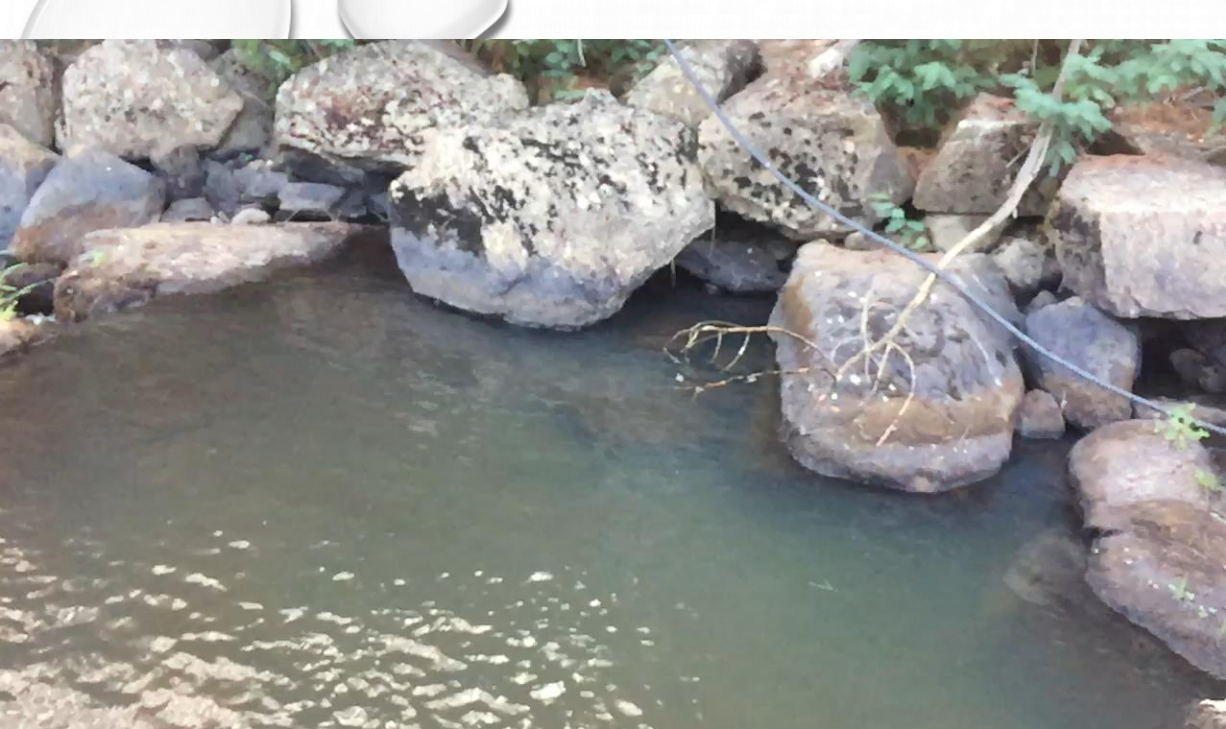


$$\eta(r, 0) = D_c \left(\frac{1 - r^2}{R_c^2} \right) \quad ; |r| \leq R_D$$

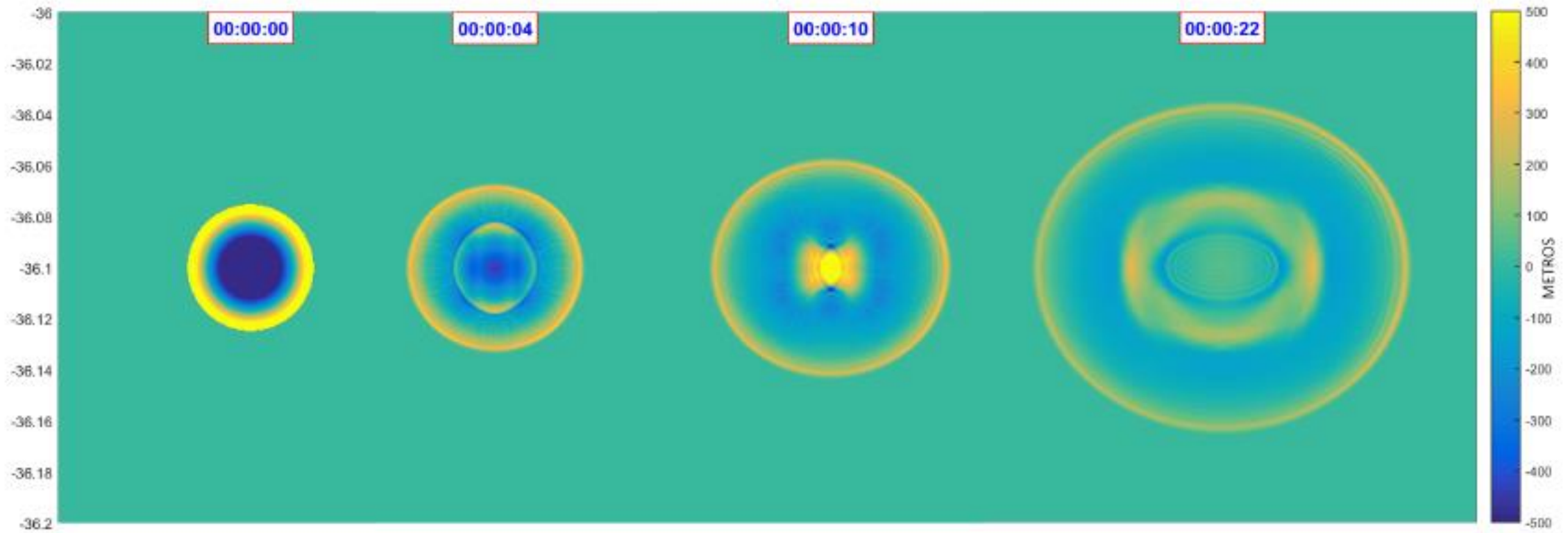
$$\eta(r, 0) = 0 \quad ; |r| > R_D$$







Evolución de la condición inicial



Comparación alturas máximas y mínimas en la propagación de tsunami (Sismo vs Asteroide)

